

КРАТКИЕ СООБЩЕНИЯ

**ПРОИСХОЖДЕНИЕ ГЛУБОКИХ УРОВНЕЙ
ПРИМЕСЕЙ НЕПЕРЕХОДНЫХ ЭЛЕМЕНТОВ
В КРЕМНИИ И ГЕРМАНИИ**

Махмудов А. Ш.

Как показывают экспериментальные данные [1, 2] по локализованным уровням узельных примесей III, V и VI групп в запрещенной зоне Si и Ge, зависимость этих уровней от (одноэлектронных) уровней атомов примесей является довольно необычной.

1) Атомные уровни примесей могут различаться на несколько электронвольт. В то же время диапазон изменения примесных уровней в запрещенной зоне на порядок меньше, благодаря чему уровни самых разных элементов попадают в запрещенную зону.

2) Для всей совокупности уровней нет единообразной корреляции между относительным положением атомных уровней примеси и относительным положением примесных уровней в запрещенной зоне матрицы. Так, орбитальные потенциалы ионизации серы больше, чем фосфора или галлия. Однако уровень серы в запрещенной зоне лежит ниже аналогичного уровня фосфора, но выше уровня галлия.

3) Примеси можно разделить на два таких класса, что в пределах каждого класса расположение уровней в зоне будет отвечать порядку атомных уровней, однако для уровней разных классов расположение уровней в зоне инвертировано по отношению к атомным уровням. К первому классу относятся примеси V и VI групп, а ко второму — примеси III группы.

Указанные закономерности воспроизводятся расчетами по методу функций Грина (см., например, [3-5]) и объясняются на основе представления о том, что уровни примесей в зоне некоторым образом формируются из атомных уровней примеси и уровней (или резонансов) для идеальной вакансии [6-9]. В данном сообщении показано, что этому несколько неопределенному представлению можно дать конкретную формулировку, воспользовавшись развитым нами «расширенным методом дефектной молекулы» [10]. Таким путем для нахождения локализованных уровней примесей получено простое уравнение, которое в наглядной форме позволяет понять их поведение.

Для правильной постановки задачи нужно иметь в виду, что названный метод (как и близкий к нему метод функций Грина) должен описывать только «глубокие» уровни примеси, а также указывать примеси, не дающие глубоких уровней. Детальное описание мелких уровней выходит за пределы применимости метода. Соответственно проведенное далее рассмотрение является обоснованным лишь для глубоких уровней и двух наборов мелких уровней — у края валентной зоны и у края зоны проводимости. В пределах каждого из этих наборов отдельные мелкие уровни не различаются.

Используя «технику разделения» Левдина [11] (близкий прием см. в [9]), легко видеть, что одноэлектронные уровни (E) кристалла с узельной примесью описываются уравнением [10]

$$\text{Det} \| H_D - EI_D - H_{DM}^* (H_M - EI_M)^{-1} H_{MD} \| = 0. \quad (1)$$

Здесь H_D — матрица эффективного одноэлектронного гамильтонiana \hat{H} дефектного кристалла в базисе локализованных орбиталей (ЛО) для произвольно

выбранной области дефекта (D), H_M — аналогичная матрица для остальной решетки (M), H_{DM} и H_{MD} — матрицы, отвечающие взаимодействию ЛО из D с ЛО из M .

Выберем ЛО в виде sp^3 -атомных орбиталей (АО) и будем описывать дефект в кристалле надлежащим изменением диагональных матричных элементов \hat{H} для валентных s - и p -АО заменяемого атома (кулоновских интегралов), а при необходимости — также надлежащим изменением недиагональных элементов,

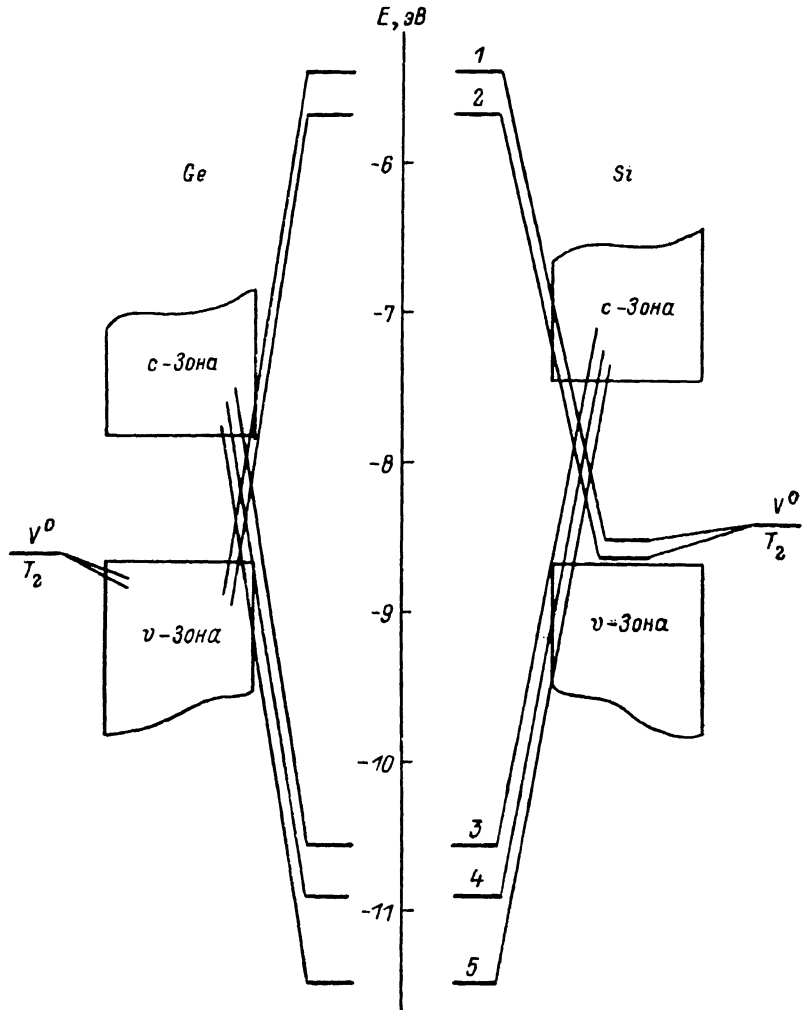


Рис. 1. Связь локализованных примесных уровней T_2 -симметрии в Si и Ge от p -уровней изолированных атомов примесей и T_2 -уровня вакансии.

1 — In, 2 — Ga, 3 — P, 4 — Se, 5 — S. Потенциалы ионизации для p -уровней изолированных атомов примесей взяты из [12].

описывающих взаимодействия АО дефектного узла с остальной решеткой (резонансных интегралов). В частности, для примеси изменение кулоновских интегралов равно изменению атомных уровней при замене атома основного кристалла атомом примеси, а для вакансии «новые» кулоновские и резонансные интегралы принимаются равными нулю.

Перейдем далее к базису, симметризованному по неприводимым представлениям A_1 - и T_2 -группы дефектного кристалла T_d , и факторизуем уравнение (1) по симметрии. Включим теперь в D только дефектный узел и примем, что замена атома в D не меняет кулоновских и резонансных интегралов в M , а присутствие области M не меняет атомных характеристик атома в D . Тогда из (1) получаем для локализованных A_1 - и T_2 -уровней в запрещенной зоне кристалла матрицы

$$\alpha_n^{(\gamma)} - E^{(\gamma)} = \sum_{i,j} H_{1i} \left\{ \frac{G_{11}^0(E) G_{ij}^0(E) - G_{i1}^0(E) G_{j1}^0(E)}{G_{11}^0(E)} \right\} H_{j1}. \quad (2)$$

Здесь $\alpha_n^{(\gamma)}$ — кулоновский интеграл, отвечающий валентному s - или p -уровню изолированного атома примеси; $\alpha_n^{(\gamma)} = \alpha_n^{(t)}$ при $\gamma = A_1$ и $\alpha_n^{(\gamma)} = \alpha_n^{(p)}$ при $\gamma \in T_2$; $G_{ij}^0(E)$ — соответствующие матричные элементы одноэлектронной функции Грина основного кристалла $\hat{G}^0 = (E\hat{I} - \hat{H}^0)^{-1}$, а матричные элементы H_{1i} , H_{j1} описывают взаимодействие s - или p -АО примеси с решеткой основного кристалла.

Умножая обе части (2) на G_{11}^0 и полагая $H_{1i} = H_{j1} = 0$, имеем для уровня вакансии $E_b^{(\gamma)}$ соотношение $G_{11}^0(E_b^{(\gamma)}) = 0$, где $\gamma = A_1$ или $\gamma \in T_2$. Найденные отсюда

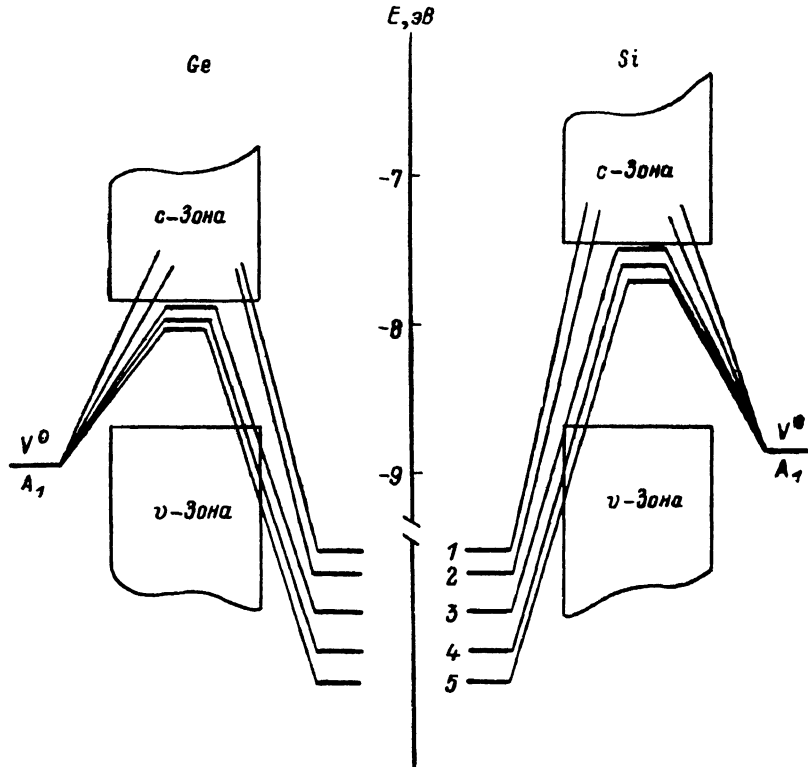


Рис. 2. Связь локализованных примесных уровней A_1 -симметрии в Si и Ge от s -уровней изолированных атомов примесей и A_1 -уровня вакансии.

Потенциалы ионизации для атомных s -уровней взяты из [12]. 1—4 — то же, что и на рис. 1.

T_2 -уровни вакансии в запрещенной зоне Si и Ge имеют энергии $E = -8.46$ или $E = +0.20$ эВ для Si и $E = -8.51$ или $E = +0.03$ эВ для Ge [10] (E — потолок валентной зоны). A_1 -уровень вакансия в запрещенных зонах Si и Ge не имеет, и интересующий нас корень уравнения $G_{11}^0(E) = 0$ симметрии A_1 лежит в валентной зоне обоих кристаллов вблизи ее потолка (рис. 1, 2).

Учитывая вид правой части уравнения (2), запишем для каждого из представлений A_1 и T_2 (индекс γ здесь и далее для простоты записи опускаем)

$$\frac{G_{11}^0(E) G_{22}^0(E) - [G_{12}^0(E)]^2}{G_{11}^0(E)} = \frac{1}{\epsilon_{12}(E)(E - E_b)}, \quad (3)$$

где индекс 1 относится к s - или p -АО атома основного кристалла в узле примеси, а индекс 2 — к симметризованной орбитали, построенной из sp^3 -АО атомов — первых соседей, направленных к этому узлу. Здесь из функции $G_{11}^0(E)$ в знаменателе левой части (3) выделен множитель $(E - E_b)$, обращающийся в нуль при $E = E_b$. Согласно проведенным нами расчетам для C, Si и Ge, введенная величина $\epsilon_{12}(E)$ является в запрещенной зоне плавно меняющейся и положительной функцией E , которая (как и следовало ожидать из ее определе-

ния) не имеет нулей в этой зоне. Например, в случае использования при расчете функций Грина техники «специальных» точек Чади—Коэна [13] функция $\varepsilon_{12}(E)$ для представления T_2 практически постоянна в запрещенной зоне (кроме самых ее краев, где она заметно возрастает) и равна 1.4 для С, 2 для Si и 2.7 для Ge [10].

Используя (3), можно формально переписать (1) в виде квадратного уравнения с зависящим от энергии E свободным членом, корни которого, лежащие в запрещенной зоне, дают локализованные уровни примеси. (Ввиду зависимости свободного члена уравнения от E корни фактически должны вычисляться итерационным путем). Формула для искомых корней становится особенно наглядной, если учесть взаимодействие примеси только с направленными к дефекту sp^3 -АО — его первыми ближайшими соседями. Тогда имеем простое соотношение

$$E = \frac{1}{2} [E_b + \alpha_n] \pm \frac{1}{2} \left\{ [E_b - \alpha_n]^2 + \frac{4H_{12}^2}{\varepsilon_{12}(E)} \right\}^{1/2}, \quad (4)$$

напоминающее уравнение, возникающее в задаче о двух взаимодействующих уровнях. Роль этих уровней играют корни уравнения $G_{11}^0(E)=0$ — уровень вакансии E_b и уровень АО изолированного атома примеси α_n , а роль взаимодействия между уровнями — взаимодействие примеси с ее ближайшим окружением, перенормированное множителем $[\varepsilon_{12}(E)]^{-1/2}$, который учитывает остальную часть бесконечной решетки. Легко видеть, что (4) объясняет отмеченные выше особенности поведения примесных уровней.

Из формулы (4) при учете расположения уровней на рисунках видно, что примесный уровень в запрещенной зоне кристалла не имеет прямого отношения к атомным s - и p -уровням изолированного атома примеси. Он порожден уровнем вакансии (T_2 или A_1 симметрии, рис. 1 и 2 соответственно), несколько сдвинутым по энергии из-за взаимодействия с атомными уровнями примеси (как ранее принималось в работах [6, 9]). Для больших значений разности $|E_b - \alpha_n|$ примесный уровень будет $\sim (E_b + H_{12}^2)/[(E_b - \alpha_n)\varepsilon_{12}]$, т. е. не пропорционален, а скорее обратно пропорционален этой разности. Поэтому широкий диапазон изменения атомных уровней разных элементов отвечает узкому диапазону изменения примесных уровней.

Единообразная корреляция между расположением атомных уровней и уровней примеси в запрещенной зоне нарушается, потому что примеси с $(E_b - \alpha_n) > 0$ и $(E_b - \alpha_n) < 0$ сдвигают уровень вакансии в разные стороны. Однако для атомных уровней, располагающихся по одну сторону от уровня вакансии E_b , корреляция между E и α_n соблюдается, так как атомный уровень α_n , расположенный по энергии дальше от E_b , сдвигает уровень вакансии меньше, чем уровень, расположенный ближе к E_b .

В связи со сказанным можно объяснить и третье свойство примесных уровней, поскольку (как видно из рисунков) атомные p -уровни примесей III и IV групп всегда располагаются выше соответствующего T_2 -уровня вакансии, а s -уровни примесей V и VI групп — ниже ее A_1 -уровня.

В заключение выражают благодарность А. А. Левину за многочисленные обсуждения вопросов, затронутых в работе, которые оказали влияние на ее содержание, В. С. Бавилову, О. В. Константинову и Э. И. Рашибе за обсуждение и полезные замечания.

Л и т е р а т у р а

- [1] Милнес А. Примеси с глубокими уровнями в полупроводниках / Пер. под ред. М. К. Шейнкмана. М., 1977. 562 с.
- [2] Емцев В. В., Машовец Т. В. Примеси и точечные дефекты в полупроводниках. М., 1982. 248 с.
- [3] Махмудов А. Ш., Хакимов З. М., Левин А. А. и др. — ФТТ, 1984, т. 26, в. 8, с. 2159—2164.
- [4] Махмудов А. Ш., Хабибуллаев П. К., Хакимов З. М., Левин А. А. — Письма ЖЭТФ, 1985, т. 43, в. 8, с. 39—41.
- [5] Sankey O. F., Dow J. D. — Phys. Rev. B, 1983, v. 27, N 12, p. 7641—7653.
- [6] Ланно М., Бургуэн Ж. Точечные дефекты в полупроводниках. Теория / Пер. под ред. В. Л. Гуревича. М., 1984. 263 с.
- [7] Bachelet G. B., Baraff G. A., Schlüter M. — Phys. Rev. B, 1981, v. 24, N 8, p. 4736—4744.

- [8] Bernholc J., Lipari N. O., Pantelides S. T., Sheffler M. — Phys. Rev. B, 1982, v. 26, N 10, p. 5706—5718.
 [9] Picoli G., Chomette A., Lannoo M. — Phys. Rev. B, 1984, v. 30, N 12, p. 7138—7149.
 [10] Хакимов З. М., Махмудов А. Ш., Левин А. А. — ДАН СССР, 1986, т. 290, в. 1, с. 157—161.
 [11] Lewdin P.-O. — Adv. Chem. Phys., 1959, v. 2, p. 207.
 [12] Lewter J. E. — Phys. Rev. B, 1977, v. 15, N 8, p. 3928—3942.
 [13] Chadi D., Kohen M. — Phys. Rev. B, 1973, v. 8, N 12, p. 5747—5753.

Институт ядерной физики
АН УзССР
Улугбек

Получено 10.06.1987
Принято к печати 5.01.1988

ФТП, том 22, вып. 8, 1988

ЭФФЕКТИВНОСТЬ ВЗАИМОДЕЙСТВИЯ ВАКАНСИЙ С ДОНОРАМИ В ГРУППЫ В *n*-ГЕРМАНИИ

Витовский Н. А., Емцев В. В., Машовец Т. В., Полоскин Д. С.

В [1] было показано, что решающим фактором, определяющим скорость накопления стабильных дефектов в *n*-германии при облучении его γ -лучами или электронами при комнатной температуре, является способность вакансии (V) двигаться и взаимодействовать с атомами донорных примесей (D) V группы. Отрицательно заряженная вакансия, созданная при облучении, дрейфует в поле положительно заряженного донора и при достаточном сближении с ним образует электрически не активный комплекс VD [2—5].¹ По пути она может исчезнуть, прорекомбинировав со свободным межузельным атомом I , также созданным при облучении. Межузельные атомы значительно подвижнее, чем вакансии (энергии миграции E_m равны 0.42 для V^- , 0.15 для I^0 и 0.07 эВ для I^+) [6]. В результате этого процесс рекомбинации V с I может конкурировать с уходом вакансий на доноры $V^- + D^+ \rightarrow VD$, даже если концентрация межузельных атомов N_I мала по сравнению с концентрацией доноров N_D . Парциальные времена, характеризующие процессы рекомбинации (τ_{IV}) и образования комплексов (τ_{VD}), могут быть записаны в виде

$$\begin{aligned}\tau_{IV} &= 4\pi D_I \rho_{IV} N_V, \\ \tau_{VD} &= 4\pi D_V \rho_{VD} N_D,\end{aligned}\quad (1)$$

где D_I , D_V — коэффициенты диффузии I и V ; ρ_{IV} , ρ_{VD} — соответствующие радиусы взаимодействия, $N_V = \lambda \tau_p$ — стационарная концентрация вакансий, λ — темп генерации пар Френкеля, определяемый видом, энергией и интенсивностью излучения, τ_p — время жизни вакансии по отношению ко всем процессам ее исчезновения. Стационарная концентрация межузельных атомов $N_I = \lambda \tau_I$ определяется интенсивностью стоков τ_{ct}^{-1} .

В настоящем сообщении приводится nomogramma относительной эффективности η образования комплексов VD : $\eta = \frac{1}{\lambda} \frac{dN_{VD}}{dt}$. Пользуясь ею, можно сразу определить, какая доля вакансий уходит на образование комплексов VD при любых заданных значениях N_D и $\lambda = \sigma J N_{Ge}$ (σ — сечение образования пары Френкеля, известная функция энергии E бомбардирующих электронов или γ -квантов, J — плотность их потока, $N_{Ge} = 4.45 \cdot 10^{22} \text{ см}^{-3}$). Поскольку σ и J в заданных условиях эксперимента известны, можно предсказать скорость образования комплексов VD для германия с любой концентрацией N_D ; можно

¹ Вакансия, в принципе, может взаимодействовать и с атомами других примесей, например кислорода, однако в *n*-германии, не подвергшемся специальным обработкам или дополнительному легированию примесями не V группы, взаимодействие с атомами доноров V группы является для вакансий доминирующим процессом.